没食子酸丙酯对 H₂O₂ 诱导 SH-SY5Y 细胞氧化损伤的影响及其作用机制

刘 斌(淮阴卫生高等职业技术学校, 江苏 淮安 223300)

摘要:目的 探讨没食子酸丙酯(propyl gallate, PG, 赤芍 801)对 H₂O₂诱导人神经母细胞瘤细胞(SH-SY5Y)氧 化损伤的影响及其作用机制。方法 将 SH-SY5Y 细胞均分为对照组、H₂O₂ 模型组、PG1 组、PG2 组和 PG3 组, 对照组常规加入 DMEM/F12 培养液培养; H₂O₂ 模型组加入 H₂O₂ 200 μmol·L⁻¹; PG1 组加入 PG 20 μmol· L⁻¹+H₂O₂ 200 μmol·L⁻¹; PG2 组加入 PG 40 μmol·L⁻¹+H₂O₂ 200 μmol·L⁻¹; PG3 组加入 PG 80 μmol·L⁻¹+H₂O₂ 200 μmol·L-1。比较 5 组 SH-SY5Y 细胞的增殖活性,细胞培养物上清中 8-OHdG,细胞内 ROS、LDH 释放量, Hoechst 33258 染色结果、细胞周期变化情况及 Caspase-3 酶活性。结果 H₂O₂ 模型组细胞存活率显著低于对照 组,细胞培养物上清中 8-OHdG 水平显著高于对照组,ROS 水平显著高于对照组,LDH 释放量显著高于对照 组,具有非常显著性差异(P<0.01); PG1组、PG2组和PG3组细胞存活率均显著高于H₂O2模型组,细胞培养 物上清中 8-OHdG 水平均显著低于 H₂O₂模型组, ROS 水平均显著低于 H₂O₂模型组, LDH 释放量均显著低于 H_2O_2 模型组,差异具有统计学意义(P < 0.05); PG 可显著改善 SH - SY 5Y 细胞凋亡情况,且具有剂量依赖关系; H,O,模型组 GO/G1 期百分率显著高于对照组,S期、G2/M期和PI均显著低于对照组,差异具有统计学意义 (P<0.05); PG2 组、PG3 组 G0/G1 期百分率显著低于 H2O2 模型组, S 期、G2/M 期和 PI 均显著高于 H2O2 模型 组,差异具有统计学意义(P<0.05); H_2O_2 模型组 Caspase-3 酶活性显著高于对照组,差异有统计学意义(P< 0.05); PG2 组和 PG3 组 Caspase-3 酶活性显著低于 H,O,模型组,差异有统计学意义(P<0.05)。结论 PG 在 一定剂量范围内对 H₂O₂ 诱导的 SH-SYSY 神经细胞损伤具有明显的保护作用, 其保护效应可能与清除 ROS, 减轻 DNA 氧化损伤,抑制线粒体通路介导的细胞凋亡有关。

关键词:没食子酸丙酯; H₂O₂; SH-SY5Y 细胞; 氧化损伤; 作用机制

中图分类号: R285.5 文献标志码: A 文章编号: 1003-9783(2014)05-0582-04

doi: 10.3969/j.issn.1003-9783.2014.05.015

Effect of Propyl Gallate from Radix Paeoniae Rubra on Oxidative Damage in SH-SY5Y Cells Induced by Hydrogen Peroxide and Mechanism Evaluation

LIU Bin(Huaiyin Health Vocational-technical Higher School, Huai'an 223300 Jiangsu, China)

Abstract: Objective To explore the effects of propyl gallate (PG) from Radix Paeoniae Rubra on oxidative damage in SH-SY5Y cells induced by hydrogen peroxide (H₂O₂). Methods SH-SY5Y cells were divided into control group, H₂O₂ model group, PG1 group, PG2 group, and PG3 group. The control group were cultured with DMEM/F12 nutrient solution, H₂O₂ model group were cultured with DMEM/F12 nutrient solution and H₂O₂ 200 μmol·L⁻¹. Based on the culture solution for H₂O₂ model group, PG1 group, PG2 group, and PG3 group were co-culture with PG 20, 40 and 80 μmol·L⁻¹ respectively. The proliferation activity of SH-SY5Y cells, the release amount of 8-OHdG, ROS, LDH in the cell culture supernatant, the dyeing results of Hoechst 33258, the changes of cell cycle, and the enzyme activity of Caspase-3 were compared among the 5 groups. Results In H₂O₂ model group, the survival rate of SH-SY5Y cells was lower, the levels of 8-OHdG and ROS and the release amount of LDH in the cell culture

收稿日期: 2014-04-18

作者简介:刘斌, 男, 副教授, 研究方向:中药药理以及教育管理。Email: hywxlb@163.com。

supernatant were higher than the control group (P < 0.01). PG groups had higher survival rate of SH-SY5Y cells, and lower 8-OHdG, ROS and LDH levels than the H₂O₂ model group (P < 0.05). PG could improve the cell apoptosis of SH-SY5Y dose-dependently. The percentage of G0/G1 stage of the H₂O₂ model group was higher, while the percentages of S stage, G2/M stage and PI% were lower than the control group (P < 0.05). PG2 and PG3 groups had lower percentage of G0/G1 stage, and higher percentages of S stage and G2/M stage and PI than the H₂O₂ model group (P < 0.05). The activity of Caspase-3 of the H₂O₂ Model group was higher than the control group (P < 0.05), and then was decreased in PG2 group, PG3 group (P < 0.05 compared with H₂O₂ model group). Conclusion It is indicated that PG has neuroprotection against H₂O₂ -induced oxidative damage in certain dose range, and the inhibition of the apoptosis mediated by mitochondrial pathway.

Keywords: Propyl gallate (PG) from Radix Paeoniae Rubra; Hydrogen peroxide (H₂O₂); SH-SY5Y cells; Oxidative damage; Therapeutic mechanism

神经退行性疾病(neurodegenerativediseases, NDD) 是指以特定脑部区域神经元退变为特征的慢性进行 性神经系统疾病^[1]。目前,NDD的发病机制尚无明确 研究结果,但大量研究指出氧化应激与 NDD的发生 有紧密联系^[2]。由天然产物中提取的具有抗氧化作用 的化合物对防治该类疾病具有重要意义。没食子酸 丙酯也叫赤芍 801(propyl gallate, PG),是从赤芍中 分离提取的活性成分,对脑血栓、冠心病、心绞痛 及血栓性静脉炎等血栓性疾病具有防治作用^[3]。本研 究通过建立氧化应激损伤模型,对赤芍 801 的神经 保护作用及其机制进行分析。

1 材料与方法

- **1.1 材料** 人神经瘤母细胞(SH-SY5Y),中国医学科学院基础医学研究所细胞资源中心;赤芍 801(propyl gallate, PG,含量 99.9%),上海源叶生物科技有限公司,批号:121093-200402。
- **1.2 分组** 采用 CCK-8 法筛选 PG 无毒剂量,单独作用于 SH-SY5Y,从浓度 20 μmol·L⁻¹~1600 μmol·L⁻¹ 范围内共设置 8 个浓度^[4]。结果显示, PG 单独作用于 SH-SY5Y 细胞,在 20 μmol·L⁻¹~80 μmol·L⁻¹ 浓度范围 内对 SH-SY5Y 细胞无毒性。因此,设置 20,40,80 μmol·L⁻¹ 共 3 个剂量进行研究。将 SH-SY5Y 细胞均分为 5 组,即对照组,H₂O₂模型组,PG1 组、PG2 组和 PG3 组。
- **1.3 SH-SY5Y 培养** 对照组常规加入 DMEM/F12 培养液(包括 10 %胎牛血清, 100 U·mL¹ 庆大霉素和 2 mmol·L¹ 的 L- 谷氨酰胺),在 37 ℃饱和湿度、5 % CO₂ 保持饱和湿度培养, 2~3 d 传代 1 次^[5]; H₂O₂ 模

型组在此基础上加入 H_2O_2 200 μ mol·L⁻¹ 孵育 24 h; PG1 组加入 PG 20 μ mol·L⁻¹ 预处理 1 h 后再加入 H_2O_2 200 μ mol·L⁻¹,继续孵育 24 h; PG2 组加入 PG 40 μ mol·L⁻¹ 预处理 1 h 后再加入 H_2O_2 200 μ mol·L⁻¹,继续孵育 24 h; PG3 组加入 PG 80 μ mol·L⁻¹ 预处理 1 h 后再加入 H_2O_2 200 μ mol·L⁻¹,继续孵育 24 h。

- 1.4 指标检测 记录 5 组 SH-SY5Y 细胞的增殖活性、 细胞培养物上清中 8- 羟基脱氧鸟苷(8-hydroxy deoxyguanosine, 8-OHdG)、细胞内活性氧(reactive oxygen species, ROS)以及乳酸盐脱氢酶(lactate dehydrogenase, LDH)释放量,观察5组SH-SY5Y细 胞 Hoechst 33258 染色结果, 并比较 5 组 SH-SY5Y 细胞细胞周期变化情况及 Caspase-3 酶活性。细胞的 增殖活性采用 CCK-8 试剂检测^[6]; 8-OHdG 采用 ELISA 法检测; ROS 采用 ROS 敏感荧光探针 2', 7'-二氯二氢荧光素二乙酯(DCFH-DA)检测响;采用多功 能酶标仪检测细胞毒性时释放的 LDH; 采用 Hoechst 33258 染色法观察 SH-SY5Y 细胞凋亡情况;采用碘 化丙啶染色流式检测 PG 对 H₂O₂ 诱导 SH-SY5Y 细胞 周期的影响[□];利用 caspase-3 可以催化底物 Ac-DEVD-pNA 产生黄色的 p-nitroaniline(pNA)的特 性,通过测定吸光度来检测 caspase-3 的活性^图。
- **1.5 统计学处理方法** 采用 SPSS 17.0 统计软件进行统计学分析,以 $\bar{x} \pm s$ 表示计量资料,采用 t 检验。

2 结果

2.1 PG 对 H₂O₂ 损伤 SH-SY5Y 细胞的增殖活性、细胞培养物上清中 8-OHdG、细胞内 ROS 以及 LDH 释放量的影响 H₂O₂ 模型组细胞存活率显著低于对

照组(P<0.01); PG1组、PG2组和PG3组细胞存活率均显著高于H₂O₂模型组,差异具有统计学意义(P<0.05); H₂O₂模型组细胞培养物上清中8-OHdG水平显著高于对照组,差异有显著性意义(P<0.01); PG2组和PG3组细胞培养物上清中8-OHdG水平均显著低于H₂O₂模型组,差异具有统计学意义(P<0.05); H₂O₂模型组 ROS水平显著高于对照组,差异有显著性意义(P<0.01); PG2组和PG3组ROS水平均显著低于H₂O₂模型组,差异具有统计学意义(P<0.05); H₂O₂模型组 LDH释放量显著高于对照组,具有非常显著性差异(P<0.01); PG2组和PG3组LDH释放量均显著低于H₂O₂模型组,差异有统计学意义(P<0.05)。见表 1。

2.2 Hoechst 33258 染色分析 对照组细胞表现为弥

表 1 PG 对 H_2O_2 损伤 SH–SY5Y 细胞的影响 $(\bar{x}\pm s, n=4)$

Table 1 Effect of PG on SH-SY5Y cell viability damaged by H₂O₂

组别	剂量 /μmol·L ⁻¹	细胞存活率 /%	8-OHdG/%	ROS/%	LDH/%
对照组	-	100.00 ± 0.78**	100.00 ± 0.62**	100.00 ± 0.85**	100.00 ± 0.63**
H ₂ O ₂ 模型组	-	58.26 ± 0.62	219.26 ± 1.26	200.16 ± 1.55	162.16 ± 0.88
PG1组	20	$68.17 \pm 0.65^*$	190.38 ± 0.89	181.06 ± 1.11	145.27 ± 0.80
PG2组	40	$70.27 \pm 0.71^*$	$168.17 \pm 0.85^*$	$148.33 \pm 0.82^*$	$138.22 \pm 0.75^*$
PG3组	80	$74.08 \pm 0.78^*$	$139.78 \pm 0.74^*$	$125.26 \pm 0.79^*$	$118.77 \pm 0.70^*$

注:与H₂O₂模型组比较,*P<0.05,**P<0.01。

漫均匀的低强度蓝色荧光,见图 1A; H₂O₂模型组细胞核呈浓染致密的固缩形态和颗粒状荧光,细胞核发生明显的凋亡变化,见图 1B; PG1组、PG2组和PG3组固缩形态和颗粒状荧光显著减少,细胞形态基本接近正常,且具有剂量依赖关系,见图 1C-E。

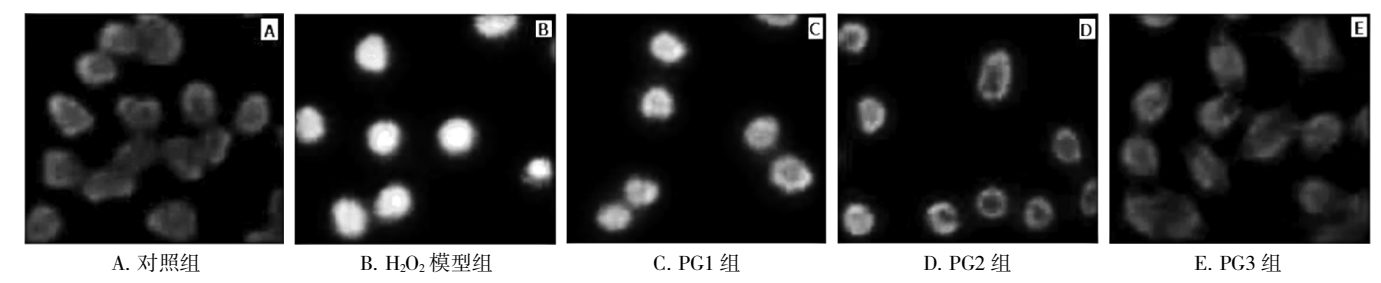


图 1 Hoechst 33258 染色结果

Figure 1 The dyeing results of Hoechst 33258

2.3 PG 对 H₂O₂ 损伤的 SH-SY5Y 细胞周期的影响 H₂O₂ 模型组 GO/G1 期百分率显著高于对照组,S 期、G2/M 期和 PI 均显著低于对照组,差异有统计学意义 (P<0.05); PG2 组和 PG3 组 GO/G1 期百分率显著低于 H₂O₂ 模型组,S 期、G2/M 期和 PI 均显著高于 H₂O₂ 模型组,差异有统计学意义(P<0.05),见表2。

表 2 PG 对 H_2O_2 损伤的 SH-SY5Y 细胞周期的影响 $(\bar{x} \pm s, n=3)$

Table 2 $\,$ Effect of PG on SH–SY5Y cell cycle damaged by $\rm H_2O_2$

组别	剂量 /μmol·L ⁻¹	G0/G1 期	S期	G2/M 期	PI/%
对照组	-	34.69 ± 1.01*	40.78 ± 1.40*	24.50 ± 0.49*	65.10 ± 2.19*
H ₂ O ₂ 模型组		48.42 ± 2.61	32.42 ± 2.11	19.18 ± 0.51	51.60 ± 5.11
PG1组	20	45.10 ± 1.89	35.01 ± 1.61	19.90 ± 0.31	54.91 ± 3.88
PG2组	40	$43.21 \pm 2.01^*$	$35.09 \pm 1.69^*$	$21.79 \pm 0.50^*$	$56.92 \pm 4.29^*$
PG3组	80	40.79 ± 2.02*	35.79 ± 2.51*	23.51 ± 0.59*	59.31 ± 2.10*

注:与H₂O₂模型组比较,*P<0.05。

2.4 PG 对 H_2O_2 诱导的 Caspase -3 酶活性的影响 H_2O_2 模型组 Caspase -3 酶活性显著高于对照组,差异有显著性意义(P<0.01); PG2 组和 PG3 组Caspase -3

酶活性显著低于 H_2O_2 模型组, 差异具有统计学意义 (P<0.05), 见表 3。

表 3 PG 对 H_2O_2 诱导的 Caspase-3 酶活性的影响($\bar{x}\pm s$, n=4) Table 3 Effect of PG on activities of caspase-3 induced H_2O_2

分组	剂量 /μmol·L-l	Caspase-3 酶活性 /U·mg ⁻¹
对照组	-	$0.89 \pm 0.06^{**}$
H ₂ O ₂ 模型组	-	1.39 ± 0.08
PG1组	20	$1.21 \pm 0.03^*$
PG2组	40	$1.11 \pm 0.03^*$
PG3 组	80	$0.95 \pm 0.03^*$

注:与H₂O₂模型组比较,*P<0.05,**P<0.01。

3 讨论

临床研究¹⁹表明,活性氧介导的氧化应激损伤在NDD中有关键作用,能够清除自由基活性的物质对细胞氧化受损具有保护作用。H₂O₂ 是体内代谢所产生的一种 ROS,能够与 DNA、蛋白、脂质等多种生物靶标分子反应,可以透过细胞膜^[10]。SH-SY5Y 临床上被广泛用作氧化应激诱导的神经细胞损伤模型。目前,国内有多篇文献报道表明 PG 在神经系统中具有广泛的药理活性,但对其在神经保护中的机制尚

无确切的研究结果[11]。本研究采用 CCK-8 试剂盒对 H_2O_2 诱导的 SH-SY5Y 细胞损伤浓度和时间进行了检测,比较结果得出 H_2O_2 造模的最佳浓度为 200 μ mol·L⁻¹,最佳孵育时间为 24 h。在该条件下,H-SY5Y 细胞活力抑制率为 42 %,细胞存在一定比例的凋亡,但又不会大量死亡,是 H_2O_2 模型复制的最佳条件,与文献结果[12]相符。同时,再次采用 CCK-8 试剂盒检测 PG 单独用药对细胞无毒的剂量范围,用以筛选合适的 PG 用药剂量。结果显示,无毒性范围为 20~80 μ mol·L⁻¹,因此,设置 20,40,80 μ mol·L⁻¹共 3 个剂量进行研究。

本研究中 CCK-8 和 Heochest 33258 染色结果表 明 PG 能够有效抑制 H2O2 诱导的 SH-SY5Y 细胞凋 亡,且呈剂量依赖性。进行碘化丙啶染色流式检测 发现 200 μmol·L⁻¹ 的 H₂O₂ 能够提高 SH-SY5Y 细胞 DNA 的休止期和合成前期(G0/G1)比率,降低合成 期(S期)和 G2/M 期比率,诱导了双链 DNA 的断裂, 证实其对 SH-SY5Y 细胞具有毒性^[13]。而 40 μmol·L⁻¹ 和 80 μmol·L-1 两个剂量的 PG 能显著改善 H₂O₂ 诱导 的 SH-SYSY 细胞增殖活性的下降,提示 PG 对 H₂O₂ 诱导的 SH-SY5Y 细胞损伤可能与减轻 H₂O₂ 诱导的 DNA 损伤有关。进一步进行 DNA 损伤的标志物 8-OHdG 检测后发现, H_2O_2 诱导细胞损伤后 8-OhdG 较对照组显著升高,提示 ROS 是造成 DNA氧 化损伤的主要原因之一。而 PG2 组和 PG3 组细胞培 养物上清中 8-OHdG 水平均显著低于 H₂O₂ 模型组, 提示 PG 的保护作用与清除活性氧,减轻 DNA 损伤 有关[14]。另外,LDH 在细胞损伤时可释放进入培养 液,是反应细胞损伤程度的重要指标[15]。200 μmol/L 的 H_2O_2 可对 SH-SY5Y 细胞产生较大损伤, 因此, 细胞培养物上清液中 LDH 水平显著升高。而 PG2 组和 PG3 组 LDH 释放量均显著低于 H₂O₂模型组, 提示 PG 可有效保护细胞,减少 H2O2 诱导的损害。

总之,H₂O₂ 诱导 SH-SYSY 细胞氧化应激,造成细胞损伤,导致 ROS、LDH 水平增加,激活 caspase 通路,提高 Caspase-3 酶活性,促进细胞凋亡,损伤 DNA,引起细胞周期阻滞。而 PG 对 H₂O₂ 诱导的 SH-SYSY 细胞损伤有保护作用,其作用机制可能为清除 ROS、减轻 DNA 氧化损伤、抑制细胞凋亡、调节细胞周期以及阻碍 caspase 通路等^[16]。

参考文献:

- [1] Zhang W, Wang PJ, Li MH, et al. ¹H-MRS assessment of the therapeutic effect of bilateral intraventricular BDNF infusion into APP/PS1 double transgenic mice[J]. J Mol Neurosci, 2013, 50(3): 434-442.
- [2] Wang M, Zhang Z, Cheang LC, et al. Eriocaulon buergerianum extract protects PC12 cells and neurons in zebrafish against 6-hydroxydopamine-induced damage[J]. Chin Med, 2011, 28(6): 16.
- [3] 温新丽,李世朋,新吉乐,等. 芍药苷对过氧化氢诱导 SH-SY5Y 细胞凋亡的保护作用[J]. 时珍国医国药,2013,24(4):828-830.
- [4] Qu ZQ, Zhou Y, Zeng YS, et al. Protective effects of a Rhodiola crenulata extract and salidroside on hippocampal neurogenesis against streptozotocin-induced neural injury in the rat[J]. PLoS One, 2012, 7 (1): 29641.
- [5] Abeliovich A. Parkinson's disease: Mitochondrial damage control [J]. Nature, 2010, 463(11): 744–745.
- [6] 熊礼燕,李丽月,林励,等. 沉香挥发油对 H₂O₂致 PC12 细胞氧化 损伤的保护作用[J]. 中药新药与临床药理,2014,25(1):28-32.
- [7] Crunkhorn S. Neurodegenerative disorders: restoring the balance [J]. Nat Rev Drug Discov, 2011, 10(8): 576.
- [8] 郭春燕,罗强,孙黎,等. 芍药苷对 H_2O_2 诱导 SH-SY5Y 神经细胞 损伤的保护作用[J]. 中草药,2013,44(20): 2864–2871.
- [9] Cao BY, Yang YP, Luo WF, et al. Paeoniflorin, a potent natural compound, protects PC12 cells from MPP+ and acidic damage via autophagic pathway[J]. J Ethnopharmacol, 2010, 131(1): 122-129.
- [10] Zhang HA, Gao M, Zhang L, et al. Salvianolic acid A protects human SH-SY5Y neuroblastoma cells against H2O2-induced injury by increasing stress tolerance ability [J]. Biochem Biophys Res Commun, 2012, 421(3): 479-483.
- [11] Chaturvedi RK, Beal MF. Mitochondria targeted therapeutic approaches in Parkinson's and Huntington's diseases[J]. Mol Cell Neurosci, 2013, 55: 101–114.
- [12] 张娴,黄羽,曾星. 甘草酸对 H₂O₂ 诱导小肠上皮细胞 DNA 损伤的保护作用[J]. 中药新药与临床药理,2012,23(3):239-242.
- [13] Martin LJ. Mitochondrial and Cell Death Mechanisms in Neurodegenerative Diseases[J]. Pharmaceuticals (Basel), 2010, 3(4): 839–915
- [14] Momb J, Lewandowski JP, Bryant JD, et al. Deletion of Mthfd1l causes embryonic lethality and neural tube and craniofacial defects in mice[J]. Proc Natl Acad Sci USA, 2013, 110(2): 549-554.
- [15] 颜明, 刘洁婷, 李洪志, 等. 黄芩苷对 H_2O_2 诱导的 SH-SY5Y 细胞损伤的保护作用及其对 Trx 表达的影响[J]. 中国生化药物杂志, 2012, 33 (5): 574–577.
- [16] Douarre C, Sourbier C, Dalla RI, et al. Mitochondrial topoisomerase I is critical for mitochondrial integrity and cellular energy metabolism [J]. PLoS One, 2012, 7(7): 41094.

(编辑: 宋威)